

泥沙研究

第三卷 第三期

泥沙研究工作組編

1958

水利电力出版社



泥沙研究 第三卷 第三期

編輯者 泥沙研究工作組
出版者 水利電力出版社
發行者 新華書店
印刷者 水利電力出版社印刷廠

本期印數1—1,150 本期定价1.2元

泥沙研究

第三卷 第三期

1958年11月

目 錄

黃河下游河道演变初步分析	(1)
渭惠渠灌溉渠首取水防沙試驗研究	水利电力部西北水利科学研究所泥沙研究室(13)
几种悬移質采样器性能比較和推移質測驗中	
几个問題的試驗總結	水利电力部勘測設計总局 夏方佐(27)
黃河花园口河段河床演变資料的初步	
分析	黄河水利委员会水利科学研究所花园口河床演变測驗队(34)
水庫淤积物干容重資料分析	方宗岱 尹学南(45)
渾水的粘性及流型	錢 宁 馬惠民(52)
論下游局部冲刷	工程师H.B.拉普图列夫(78)
大型渠道弯段上的不冲流速之計算	И.Л.罗索福斯基(84)
弯道的流速分布及边界层	H.A.爱因斯坦及J.A.哈德(94)
冲刷模型試驗用輕質砂的新种类	M.巴夫奇(100)
沙紋形成的力学作用	刘心寬(104)

黄河下游河道演变初步分析

一、前言

黄河下游自孟津至河口，长约 790 公里，占全河长度约 16.3%，其中除南岸郑州黄河铁桥以上和梁山十里堡至济南田庄二段为山麓外，其余河道均束于两岸大堤之间。由于黄河流经中游黄土高原后，携带大量的泥沙，成为世界上最著名的漂水河流。河出山谷，进入宽广的冲积平原，河床比降变缓，流速降低，水流挟沙能力减小，大量泥沙随之下沉，河床逐年抬高，而形成“地上河”。这种居高临下、变化多端的河道，如防守不慎，就易发生决口改道的危险，因此，黄河有“善徙、善淤、善决”之称。根据历史记载，黄河下游在三千多年中，发生氾滥决口一千五百多次，重要的改道 26 次，其中大的改道 9 次，改道最北的经海河出大沽口，最南的经淮河入长江，威胁范围达 25 万平方公里。

解放以来，在党和政府领导下，依靠广大人民群众积极开展了治黄工作，并对下游防洪采取了“宽河固堤”的正确方案，安渡了 11 年的伏秋大汛，扭转了黄河近百年来几乎每年决口的险恶局面。我们在修防的同时，为了了解下游河道的变化，每年均进行了河势查勘，各处段并结合具体情况，按其可能发生的变化，拟出防守计划。并自 1951 年开始，对下游河道变化的研究，除水文站经常性的观测外，又进行了固定大断面的测量工作，颁发了“黄河下游施测大断面工作办法”，规定每年汛前、汛期、汛后各施测一次。由于工作的发展，截止 1954 年下游固定大断面增添为 33 个（包括水文站断面 9 个），1956 年断面位置详见附图 1。并对施测成果，进行了整理，以上这些实测基本资料，对認識黄河下游河道的变化规律、计算安全排洪量及增强修防工作的预见性起到一定的作用。

这次对黄河下游河道演变的初步研究，主要根据 1951~1956 年下游河势查勘报告，固定大断面测量成果，并利用了下游各水文站的实测水文资料，进行总结与初步分析，以期对黄河下游河道演变有一概括性的认识，并为进一步研究下游河道演变规律提供必要资料。

二、水文概况

黄河下游水位涨落悬殊，低水时可见河底，大水时漫滩漫堤。~~在黄河所防上，以涨水时期之不同，向有“四汛”之称，即：桃、伏、秋、凌。桃汛于 3、4 月间由于中上游冰雪融化而涨水，伏汛为 7、8 月份，由于暴雨集中，能造成特大洪水，其特点是来急去速；秋汛为 9、10 月间，一般因秋雨连绵而形成洪水，其特点是峰肿、量大；凌汛为 12 月至次年 2 月，最严重时为开凌时期，因大量流冰在下游壅塞而造成危险。一般所称“汛期”主要是指伏汛和秋汛。而这四汛水情的变化，对下游河床变形，都有很大影响，其中以伏秋汛影响最大。~~

黄河流域降水的特点是各月之间的分布很不均匀，各地降水量大部集中于夏季（6~8 月），占全年降水量百分比大都超过 70%，最大甚至超过 80%，就全国范围来说，也是首屈一指。黄河流域的暴雨也多集中在夏季的 7、8 两个月，一般来说，在黄河流域 7、8 月暴雨占全年 50% 以上，甚至全年雨量能为该两个月暴雨所决定，这样的暴雨，是造成黄河下游洪水的重要原因。

根据黄河下游历年洪水遭遇情况的分析，由于~~山东、河南地区的地理条件、自然因素，特别是降水的特点不同，造成洪水类型也各不相同。如 1951 年 8 月 5 日至 10 日，高量小暴雨暴落，1949 年 9 月与 1954 年 8、9 月洪水，由于暴雨连绵，则洪水持续时间长，流量较大。其洪峰过程情况参阅图 2。~~

1951~1956 年间的汛期洪水，以 1954 年 8 月 5 日至 10 日 15,000 秒公方的洪水为最大，洪峰连续出现，8、9 月洪水总量 254 亿公方，占全年洪水量的 41%。~~在演进期间，黄河下游河道高村以上部分漫滩，高村以下全为漫滩，由于河谷的储蓄，和~~平原~~以及艾山的卡水影响，致使后续洪峰与前次洪~~

峰汇合，造成孙口以下高水位持续20余日。

秦厂水文站1954年水位、流量、含沙量、水面宽过程线如图3所示；黄河下游各主要水文站在近35年中的年水量、年沙量、含沙量及其平均数字列如表1：

表1

站名	年 水 量 (亿公方)			年 沙 量 (亿公吨)			含 沙 量 (公斤/公方)							
	实测最大		35年	实测最大		35年	实测最大		35年					
	数值	年份	数值	年份	平均	数值	年份	平均	数值					
陕 县	629.0	1936	198.0	1928	423	29.50	1933	6.90	1930	13.60 590.00	1951	1.5	1978	32.2
秦 厂	586.2	1951	436.8	1953	500	21.28	1954	8.15	1952	12.40 230.00	1951	0.5	1951	21.8
高 村	566.2	1954	442.7	1953	494	20.00	1954	7.04	1952	11.00 1,100	1951	0.5	1951	22.3
艾 山	591.1	1954	452.5	1952	510	19.10	1951	7.96	1952	10.70 184.3	1951	0.2	1951	21.0
洛 口	691.7	1949	443.1	1952	513	18.81	1954	6.93	1952	10.70 1,530	1953	0.1	1929	20.9
利 漕	580.7	1954	439.6	1953	506	19.80	1954	8.68	1952	11.80 146.02	1953	0	1936	23.4

由表1可以看出，黄河的水量及沙量历年变化幅度是相当大的。

下游年水量与年输沙量在各月的分布情况，可从秦厂站1951~1956年的资料看出。秦厂多年水量的平均分配为汛期4个月（7~10）水量占全年总水量的61%，其余8个月的水量仅占全年的39%。全年月水量的分配以1月为最少，多年平均为16.01亿公方，占全年的3.21%，该月历年最大与最小之比为1.30；8月份为全年月水量分配最大的月份，多年平均水量为102.73亿公方，占全年20.58%，该月水量历年最大最小比值为1.87，一般情况，汛期月水量各占全年的12~21%，其余各月水量各占全年的3~7%。秦厂多年输沙量的平均分配，同样以汛期4个月的月输沙量占全年的比重为大，多年平均为8.5~37.5%，该4个月多年平均输沙总量为全年的83.5%，其余各个月的输沙量各占全年的0.7~4.0%，全年月输沙量分配最大与最小月份，同全年月水量的分配情况相应，以1月份为最小，多年平均为0.095亿公吨，占全年0.70%，历年最大最小比值为3.12，输沙量最大的8月份，多年平均为5.075亿公吨，占全年37.48%，历年最大与最小之比为3.18。

黄河下游河道善淤善变，情况复杂，水位流量关系点子的分布因此非常散乱，而且范围很大，关系极不稳定。如秦厂站入汛后由于冲淤变化剧烈，测点分布散乱，同水位的流量有相差达6,000秒公方的。高村站低水时期同水位的流量相差40%至300%，中水时同水位的流量相差4%至90%，洛口站同样相差很大，但趋势尚较一致。

根据水位历时曲线和频率曲线，查得1954年各站出现次数最多的水位（最多水位），及相应于历时曲线中182.5天的水位（中水位），并根据各站滩面平均高程（1954年汛前大断面）查出平滩水位的频率与超出该水位的历时（漫滩历时），均列如表2：

表2

站 名	最 多 水 位 (公尺)	中 水 位 (公尺)	最 高 水 位 (公尺)	最 低 水 位 (公尺)	滩 面 平 均 高 稨 (公尺)	相 应 滩 面 平 均 高 稨 水 位 频 率 (日)	漫 滩 历 时 (日)
秦 厂	95.80	95.75	97.65	95.32	95.40	60	80
高 村	59.10	59.41	61.61	58.57	59.74	11	143
孙 口	44.30	44.41	47.73	43.63	46.22	2	29
洛 口	26.10	26.17	30.37	24.40	29.83	3	8

为了了解以上各站历年的流量变化概况，特繪制历年流量历时平均曲綫，見图4。可以看出在流量2,500秒公方以下时，下游各站的历时曲綫均趋于一致，相差不大。

下游各站历年(1951~1956年)最大流量、最小流量、最大年流量比率与最大年水位差等水文特征值列如表3：

表3

站名 项目	秦厂	高村	孙口	艾山	洛口	利津	前左	备考
最大流量(秒公方)	15,000	12,000	8,640	7,900	7,290	7,220	7,190	表中帶括號的數值是凌汛期間測量的。
最小流量(秒公方)	138	136	113	100	(65)	(70)	(41)	
最大年流量比率	60.6	55.5	76.5	68.7	89.1	82.3	141.0	
最大年水位差(公尺)	2.33	3.04	4.54	4.97	5.97	5.89	4.65	

下游各站历年平均的悬移質平均粒徑与河床質中数粒徑見表4：

表4

站名 项目	陕县	秦厂	高村	艾山	利津	前左	备考
历年平均的悬移質平均粒徑(公厘)	0.0448	0.0510	0.0402	0.0380	0.0374	0.0366	陕县历年平均的河床質泥沙中
历年平均的河床質中数粒徑(公厘)	0.1840	0.0915	0.0573	0.0600	0.0600	0.0590	数粒徑系指細沙部分，未考慮卵石

表4說明悬移質与河床質的粒徑是自上游至下游逐漸減小的。各站历年季节平均的平均粒徑变化則見表5：

表5

季别 站名	陕县	秦厂	高村	艾山	利津	前左	备考
春(3~5月)	0.0490 0.1750	0.0573 0.0730	0.0449	0.0388 0.0680	0.0130 0.0565	0.0413	表中分子代表历年季平均的悬移質平均粒徑(公厘)，分母代表历年季平均的河床質中数粒徑(公厘)
夏(6~8月)	0.0417 0.1880	0.0485 0.0953	0.0398 0.0630	0.0374 0.0570	0.0394 0.0595	0.0358 0.0540	
秋(9~11月)	0.0460	0.0531 0.0690	0.0480 0.0530	0.0356 0.0610	0.0395 0.0560	0.0348 0.0620	
冬(12~2月)	0.0728 0.2000	0.0434 0.0930	0.0541 0.0640	0.0372 0.0650	0.0321	0.0490 0.0600	

可見悬移質及河床質泥沙粒徑在季节上虽有变化，但其变化不大。

三、黄河下游河型及其平面形态变化的特性

目前黄河下游所走的河道，按历史年代可分为三段：自孟津至秦厂長約89公里，系禹王故道，有三千多

年历史，秦厂至东坝头长约 117 公里，约 600 年历史，自东坝头至河口长约 584 公里，系 1855 年铜瓦庙决口后的河道，距今已有 103 年。由于各河段流经的时间长短不一，因而造床结果就有差别。按目前河道外形及变化性质，除前左以下属于河口性质外，大体上可划分为以下五个河段：

1. 孟津至郑州黄河铁桥：这段河道系由山区河流到中积平原的过渡河段。自孟津铁桥以下已由石河床转为沙质河床。由于河出孟津后，已从狭窄的峡谷形态骤然放宽，流速减小，泥沙沉积，为黄河下游游荡性河道的开端。

该河段全长 91 公里，河道平均比降约 2.6‰，河槽宽度约 1.0~3.0 公里，河身弯曲率为 1.16（自十分之一地图上量得，以下同）。河流游荡于南岸邙山、北岸邙风岭与大堤之间。一般水流的河床形态为宽流段与窄流段相间，常水时期流线的变幅在宽流段中为 5~10 公里，在窄流段约为 2 公里。窄流段水流集中，流速较大，水流汇集而起控制枢纽作用的断面，均在邙山突出的凸处，如铁锁、裴窑嘴、吉利咀、大骨头峪等。宽河段河槽宽阔，水流分歧，沙洲分布，流线经常摆动。

两岸滩面在流量 8,000 秒公方左右时即可能漫滩，1951 年 8 月秦厂洪峰 15,000 秒公方时漫及邙脚与大堤坡脚，洪水河床宽约 9.0 公里，比降更缓，河床淤积甚地。黄河支流伊洛河、汜水及沁河均在此注入。

2. 郑州黄河铁桥至东坝头：河段全长 122 公里，堤距宽度 5.0~14.0 公里，河槽宽度 1.0~3 公里，河道平均比降约 2.03‰，河流摆幅据 1954~1957 年观察在 2.6~5.0 公里之间，河身弯曲率为 1.10。这段河道滩地较宽，河中沙滩变化迅速，水流分歧，河型散乱，极不稳定。北岸余有古城、背岗、李台三处险工外，其余皆为铜瓦庙决口及花园口扒口后河道下切而形成的高滩，目前一般超出低水位 2~3 公尺，1933 年洪水（秦厂洪峰约 20,000~25,000 秒公方）均未上滩，大部分险工均在南岸。由于北岸高滩无控制工程，每遇水流顶冲，则滩岸坍塌，影响潮流的变化，因而造成南岸险工的上提下挫。

3. 东坝头至高村：这段河道仍具有游荡性，全长 64 公里，堤距宽度上下相差很大，在 5.00~20.0 公里之间，河槽宽度 1.6~3.5 公里，河中多沙洲，河段平均比降 1.72‰，河身弯曲率为 1.07，系 1855 年决口后的新河道。

自东坝头至长垣冯楼间，河身完全在两岸河滩之间游荡，两岸滩崖犬牙交错，弯弯曲连，河弯曲度半径约 3 公里，一般较东坝头以上河道为小。由于历年洪水在 8,000 秒公方以上时即可部分漫滩，大量泥沙淤积在滩唇，形成两岸滩唇高仰，堤脚低洼，滩面横比降约 $\frac{1}{3,000} \sim \frac{1}{5,000}$ 。东坝头至李莲庄由于 1933 年特大洪水在此段两岸决口多处，形成两岸滩地，串沟甚多，洪水时期，串沟引水至堤根，对堤防威胁很大。

4. 高村至陶城埠：高村以下，滩面较上段为低，流量 6,000 秒公方即可漫滩，滩岸亦有不少串沟。此段水流较为集中，一般河中无沙滩，河槽宽度为 0.5~1.6 公里，河道平均比降 1.48‰，堤距宽 1.0~8.5 公里，河段长 146 公里。

河型弯曲较甚，河身弯曲率为 1.28。历年河势多向右岸移动，因此右岸险工多于左岸。其中刘庄至苏泗庄河道比较顺直，变化不大，苏泗庄以下，河床迂回较大，有曲率半径极小的陡弯，如王窑城、旧城，曲度半径最小可达 0.5 公里，但也有曲率半径很大的河弯，最大可达 8 公里，一般为 1~3 公里。

5. 陶城埠至前左：下游河道中较为整齐和水流集中的河段，其中陶城埠至北店子间，右岸为山，左岸为堤，部分河段为单式河槽，河宽相差很大，洪水时期艾山河宽仅 470 公尺，官庄河面宽可达 7 公里左右，在低水期水面宽约 400 公尺。北店子以下，河身蜿蜒于两堤之间，中水位以下河槽，完全控制于两岸护滩与护岸工程之间。

河段长 318 公里，堤距宽 0.46~4.0 公里，河道平均比降 1.01‰，河身弯曲率为 1.20。

前左以下属河口性质，原有三条入海，即神仙溝、甜水溝与宋春荣溝，现由北股神仙溝入海。

从以上总的情况看，可知黄河下游河道的平面形态是上宽下窄，河道的比降是上陡下缓，河弯的曲率是上小下大，河道摆动的变化是上大下小，因此，各段的排洪能力均不相同，东坝头以上河道可通过流量 25,000 秒公方，而艾山仅能通过 9,000 秒公方。从河性上总的来分析，大致分为两大类：

1. 自孟津至高村，长 277 公里，基本属游荡性河道，其特点是：河床弯曲，沙滩众多，支流稠密，

河身总的趋向順直，无显著弯道。

2.自高村至前左，長464公里，基本属于弯曲性河道，其特点是：河槽比較深窄、河身趋向較弯曲，同时下游灘岸粘性土質較多，抗冲力較強，加以下游險工（包括护灘护坡工程）建筑物密集，也加强了河岸的耐冲性，又以水流比降較小，水下地形不会受到大的破坏，这就減低了形成游蕩性河道的可能。

分析河型时除了根据河流外形及其演变过程外，还可借助于阿尔图宁教授的河床断面横向稳定系数（ $\rho = \frac{Bf^{0.2}}{Q^{0.5}}$ ），劳合欽的河床縱向稳定系数（ $f = \frac{d}{T}$ ）及变差系数（ $C_u = \sqrt{\frac{\sum (K-I)^2}{n-1}}$ ）等数据來說明，其数值如表6所示：

表6

站名	河型	阿尔图宁系数	劳合欽系数	变差系数	备考
素厂	游蕩性	4.23	0.40	0.332	計算阿尔图宁系数所用的造床流量系 取本站的平均流 量
高村	游蕩性	2.35	0.36	0.302	
艾山	弯曲性	0.79	0.53	0.222	
洛口	弯曲性	0.55	0.57	0.198	
利津	弯曲性	1.03	0.58	0.158	

由表6可以看出，利津以上阿尔图宁系数大，亦即河道的横向变化剧烈，而劳合欽系数在整个下游都小于1，說明了黄河较其他河流更易多变，变差系数也自上而下逐渐减小。

黄河下游河道的平面变化一般有以下几种現象：

1.河势的上提下挫，漲水下挫、落水上提是天然河道的一般現象，在黄河上亦是如此，故有“小水坐弯、大水刷边”或“小水坐弯、大水刷尖”之說。这是因为在小水时，水流方向主要受河底地形所控制，河走向內，因此曲率半徑較小，頂冲位置上提。平槽水位时，河底地形的控制作用逐漸減小，河槽兩岸的整制作用逐漸加大，曲率半徑亦逐漸加大，頂冲位置下挫。水流漫灘后，河槽兩岸的控制作用逐漸減小，兩岸堤防的整制作用逐漸加大，因而曲率半徑更增大，比降也变大，溜勢取直，頂冲位置更下挫。另外，灘岸的消長也是影响水流方向上提下挫的直接因素。黄河在1949年大水时，由于洪水历时長，水流趋直，河槽刷深，因而該年引起了下游河势一系列的变化，如郑州段下挫至沈庄，約十余公里；中牟段赵口险工下延至辛庄之打头須，約八公里多；东明之高村，濮阳之南小堤，鄄城之苏泗庄，济阳之谷家，齐东二段之刘春家，惠民之五甲楊，利津之官家均有显著之下挫現象，以上这种河势上提下挫現象，在下游河道未整治前是普遍存在的。

表7

断面名称	变动年限	河槽宽度(公尺)	左右摆动幅度(公尺)	备考
花园口	1954~1956	2270	向右移动1150	未列于表中的大断面基本上 没有大的摆动
曹廟	1954~1955	2190	向左移动1700	
夹河灘	1952~1954	1700	向左移动150	
夹河灘	1954~1956	1700	向右移动650	
石头庄	1954~1956	3500	向左移动1200	
彭楼	1951~1956	840	向左移动380	
史楼	1954~1956	1150	向右移动1700	
孙口	1954~1956	600	向右移动1400	
利津	1951~1954	520	向右移动400	
利津	1954~1956	560	向左移动400	

2. 河槽的摆动情况：由于黄河下游河道不稳定，主溜时常改变方向，影响河槽的左右摆动不定，故黄河有“十年河东，十年河西”之称。自1951~1956年下游各大断面主槽变动情况列如表7。

由表7可以看出，在陶城埠以上，河道宽浅，主槽摆动甚大，在两三年中有达1,700公尺者，陶城埠以下由于河床较窄，两岸险工对河槽起到控制作用，因而基本上摆动不大，仅利津断面自1951年到1956年，往返摆动了400公尺。各大断面的变动年限多发生在1954年以后，这与1954年汛期連續发生洪水、特别是8月份秦厂出現洪峰15,000秒公方有关。以上所示多为弯曲河段，在直河段内因歧流分布，有时分而复合，合而复分，变动的幅度更为频繁。

由于黄河下游河道易冲易淤，当溜势集中顶冲凹岸时，凹岸愈淘愈甚，曲率半径愈小，若遇洪水平铺直泄，冲掉凸岸，即成为天然的裁弯取直，产生“险工脱险”，或“平生险”的現象，如山东齐河之红庙自1953年以来凸岸串溝过水量逐渐扩大，經多年变化，于1957年汛期洪水时期形成了天然的裁弯取直。有些地区在洪水时期河滩村庄原在河南，待洪水落后即成河北，群众称为“干过河”，如苏泗庄下的张村，1949年洪水后即发生此种現象。

3. 河弯的相互关系：黄河下游高村以下水流較为集中，河面縮窄，历年河弯险工的河势变化多表现在河势的上提下挫，但也有脱险情况。山东洛口以下，河流束范于两岸险工、护滩之間，河势险工弯弯相连，基本上变化不大。茲就高村以上游蕩性河道簡要說明河弯的相互关系。

郑州黄河铁桥以上河段，其中当主溜入裴峪溝即挑向左岸关白庄坐弯，由此折向右岸，由古柏树滑入蒼头弯，故当地群众流传“河走温县城（即关白庄），蒼头弯里猛一穷”（意思是河流若走温县城，下游流向走蒼头弯，后者必为河水淹没）之說。大骨头峪近30年来均完全靠河，由于大骨头峪以上流勢的不同，河出大骨头峪后，河流扩散、摆幅甚大。郑州黄河铁桥附近自1948~1952年間，人民胜利渠首以上未脫过河，主流順鐵橋上游向南通过鐵橋75~95号孔（郑州黄河铁桥总長2,950公尺，計103孔，由北向南編號）。1953年汛后河势北移，主流移至20~30孔，1954年8、9月洪水，主流移至11~20孔，冀鲁山串溝淤死，1956年汛期已移至5~12孔。

河出郑州黄河铁桥后，根据溜向与位置的不同而影响铁桥以下的河势，如图5所示表現在左岸高滩的坐弯以及右岸险工的溜勢頂冲位置，发生一系列的变化。如郑州铁桥南端走主溜，则郑州西六堡险工以上着河，由此挑向左岸馬庄南灘岸坐弯，右岸入沈庄险工，繼續向左岸杜屋、至尾一帶坐弯，出弯后河向东南于中牟六堡险工上下着溜，由此入左岸高滩黑石弯。当主溜走郑州铁桥北端，则溜勢頂冲郑州西六堡以下至花园口一帶，由于該险工將軍坝（該坝很突出）的挑溜，主溜偏向东化，于左岸双井坐弯（并逐渐向楊屋一帶发展），出双井弯折向东南，于右岸万灘一帶坐弯而趋中牟赵口险工，經赵口险工47号坝的挑溜而入对岸朱庵、毛庵，經三官庙、孙堤仍入黑石弯。所以，黑石弯为此段河道中的樞紐点，1957年已兴建护滩工程。由黑石弯以下至东坝头流线甚为复杂，无一定的规律，但河弯本身与其上下弯的关系，尚有一定的趋势。东坝头以下的河势溜向，同样看东坝头险工着溜位置而定。

根据以上的說明，可以看出来黄河下游河道各河弯相互溜势有其一定的关系，各河段且均有它的轉向点，或称之为樞紐点，如裴峪溝、古柏树、郑州黄河铁桥、黑石弯、东坝头、冯楼等。如樞紐点河势发生変化，则将影响以下河势一系列的变化。高村以下（特別山东洛口以下）各河弯的联系性更为明显，即所謂“一弯变，则弯弯皆变”。因此若能把每段河势的控制点控制起来，可使河势基本上不会发生重大的变化。

四、黄河下游河道冲淤变化的研究

黄河下游河道总的情况是逐年淤积，但由于各河段的河床形态及水力因素的不同，泥沙輸送不平衡的現象也就不同，因而在下游河床的演变过程中，就发生淤积或冲刷的現象。茲根据现有資料用以下几种方法对下游各河段冲淤变化作概括性的探讨，以期得出下游河道縱向变化的概念。

1. 以各河段的年輸沙量来比較冲淤变化

根据下游各水文站1951~1956年年輸沙量資料，得出各站間的冲淤情况如表8。

表 8

年份 站 项 目 名	1951		1952		1953		1954		1955		1956		备 考
	年 份 公 吨	始淤 量 冲量											
陕 县	11.40	8.44	17.80	-0.29	0.02	-	26.10	-	12.9	-	16.70	-	符号“—”表示冲刷 以下同。
孟 津	0.76	-	8.73	17.78	-	-	4.8	-	0.30	-	1.00	-	
秦 厂	10.61	-	1.25	0.58	3.32	-	-	-	-	-	-	-	
高 村	9.39	-	8.15	14.46	-	-	21.30	-1.80	12.60	-0.80	15.70	-1.80	
夹 河 灌	-	0.08	-	1.10	12.42	-	23.10	-0.22	3.10	-0.30	13.90	-0.60	
孙 口	-	-	9.31	7.03	12.64	-	20.00	-0.17	13.10	-0.50	11.50	-1.00	
艾 山	-	-	0.65	-0.83	-0.09	-0.21	0.70	-1.00	13.00	-0.30	13.50	-0.50	
洛 口	-	-	8.66	7.95	12.41	-	19.10	-0.57	0.30	-0.20	14.00	-2.30	
利 津	-	-	0.51	1.03	-	-	0.10	-1.00	13.70	-0.70	11.70	-2.30	
前 左	-	-	10.51	-2.36	-1.75	-	11.74	-0.10	14.40	-0.10	14.00	-1.00	
	-	-	-	-	-	-	0.59	-0.63	-	-	-	-	
	-	-	-	-	-	-	11.11	-	20.60	-	13.40	-	
	-	-	-	-	-	-	-	-	-	-	-	-	

从上表可看出黄河泥沙大部分入海，一部分淤积在下游河道。以洛口站年输沙量与陕县同年份的年输沙量关系来看，洛口年输沙量约与陕县年输沙量的70~80%，而邙山至陕县年输沙量30~30%的泥沙淤积在陕县到洛口之间。除利津站外，黄河下游各站的年输沙量大多数都是沿程递减，且一般表现上段各站间淤积量大，下段淤积量小。如秦厂以上河道（主要为孟津至秦厂间）在1951、1953与1954年的年淤积量占陕县到洛口间年淤积量的60%左右；秦厂至洛口河段，虽然总的情况也出现淤积现象，但远较此数为小。此外各年各站间相对淤积量并不一致，如1951年孟津至秦厂间淤积量最多，陕县至孟津、高村至艾山次之，艾山到洛口又次之，秦厂至高村则淤积甚微，而1952年则反之，秦厂至高村淤积量最多，艾山至洛口次之，利津至前左、孟津至秦厂间又次之，高村至艾山间反而发生冲刷。在秦厂至高村、高村至艾山河段内，有上冲下淤或下冲上游的现象，如秦厂至夹河滩河段1953年与1956年发生淤积，1954年与1955年发生冲刷，夹河滩至高村段则恰恰相反。秦厂至艾山各段年内淤积量的多少，仍有一种相互交替的不平衡现象，一年或连续数年淤得多，下一年就淤得少，反之，一年或连续数年淤得少，次年冲刷，则下一年就淤得多。至于艾山至洛口河段则每年均有淤积，洛口至利津河段冲多淤少，利津以下淤多冲少。

下游各水文站间（即孟津～秦厂～夹河滩～高村～孙口～艾山～洛口～利津～前左）年内冲淤量的变化，系根据各站间1951~1956年逐月输沙量差值作为河段月冲淤量，以此繪制各河段逐月冲淤量过程线，并选利津县到夹河滩间各段的过程线如图6。今以7~10月为汛期、11~1月为汛后期、1~6月为汛前期，根据上述曲线，将各河段在年内各时期的冲淤情况概括列如表9：

表 9

河 段	汛 前	汛 期	汛 后	河 段	汛 前	汛 期	汛 后
孟 津～秦 厂	淤	淤	冲	孙 口～艾 山	不定	不定	不定
秦 厂～夹 河 灌	不定	不定	不定	艾 山～洛 口	淤	淤多冲少	淤
夹 河 灌～高 村	不定	不定	不定	洛 口～利 津	淤多冲少	冲	淤
高 村～孙 口	冲多淤少	不定	不定	利 津～前 左	淤	不定	不定

由表9可知，孟津至秦厂河段年内冲淤过程较为明显，汛前、汛期为淤积，汛后则出现冲刷；秦厂至艾山诸河段冲淤变化不定，没有明显的规律；艾山至洛口河段多为淤积过程，洛口利津间河床的冲刷均集中在汛期，汛前、汛后多为淤积过程，利津前左间汛前为淤积，汛期汛后冲淤不定，这也说明秦厂艾山间河段冲淤过程在年中亦呈现一种相互交替的不平衡现象。

兹根据泥沙平衡原理，按各站1951至1956年的总输沙量来考虑河段冲淤面积。除艾山至洛口段由于山塞地方淤积量甚大，按河道水面面积估算外，其余各段均按1954年8月洪水时期水面面积估计，淤积土容重按1.4公吨/公方计算，所得出的各站间河床冲淤多年平均数值如表10。

表10

河段名称	站间水面面积 (平方公里)	1951—1956年		多年平均冲淤速度 (公尺/年)	备注
		淤积体积 (亿公方)	淤积厚度 (公尺)		
孟津~秦厂	632.0	3.68	0.58	0.19	1.孟津~秦厂系根据1951~1953年三年资料，求得多年平均冲淤速度。 2.符号“—”表示冲刷。
秦厂~高村	971.0	3.58	0.37	0.06	
高村~艾山	825.0	0.40	0.05	0.01	
艾山~洛口	383.7	3.50	0.91	0.15	
洛口~利津	118.0	-5.72	-4.84	-0.81	

表10中指出1951~1956年间的淤积速度，以高秦间、艾洛间为最大，秦高间次之，高艾间为最小，洛口至利津间则为冲刷，此种现象与前面的首次分析结果大体上相符，但由于计算中采用的水道面积偏大，站间的距离较长，及具体到某一河段内，河槽的几何形态上下颇不一致，滩岸消长的变化较大，表现出有冲有淤，加以我们对河流各段的挟沙能力的规律还没有掌握，因此分析计算的结果，只代表河段间多年平均上升速度的一个概数。根据实际观察，高秦间的淤积数值偏小，洛利间的冲刷数值则偏大甚多。

2 以各水文站基本断面与固定大断面来比较冲淤变化。

分析下游纵剖面的历年变化情况，也可以用下游各水文站的水文资料与站间各固定大断面的断面资料，先从各站与各大断面河槽部分进行分析对比。共采取下列三种方法：

(1) 根据下游的水文情况，与各水文站基本断面历年河槽平均高程过程线及同水位下面积过程线资料，可以看出下游河床冲淤变化以汛期为最大，汛前河床比较稳定，变化较小，故选取汛前3~5月较稳定时期各测次的河床平均高程，求出其算术平均值，以之比较各年河槽的冲淤情况。

(2) 由于河道的淤积结果，必然使各站同流量下的水位逐年上升；同样地，冲刷以后则将使同流量下的水位下降。兹根据下游各站各年汛初与汛期(6~10月)的水位流量关系外包线(即上下限范围)，找出各年在流量3,000与5,000秒公方时的相应上下限水位，由此计算该站逐年的冲淤变化。

(3) 根据下游河床汛前比较稳定的概念，利用历年汛前固定大断面资料，算出河床平均高程。由于断面多，就可较全面的进行比较。同时，也曾将下游各水文站基本断面与各站间固定大断面历年汛前大断面图进行套绘，以便分析研究。

表11是根据以上三种方法所算出的黄河下游各水文站断面历年平均冲淤速度(以公尺/年计)：

表11

方法	秦厂	夹河滩	高村	孙口	艾山	洛口	利津	前左	备注
(1)	0.23	0.04	0.23	0.06	0.18	-0.03	-0.14	-0.11	第二种方法采用上下限的平均值。
(2)	0.14	0.05	0.17	0.14	0.06	-0.05	-0.08	-0.20	
(3)	0.29	0.02	0.25	-0.02	0.11	0.10	0.02	0.04	

表11說明洛口以上基本上是淤积的，洛口以下多为冲刷，与上节以各河段輸沙量所作比較的結果在性質上大致相符。

根据各站間固定大断面施測成果所得到的冲淤变化，再結合了上节河段冲淤分析可知：孟津秦厂間河段淤积量較大，由于这段河道缺少实測大断面資料，无法进行进一步的分析对比。秦厂至高村河段中，花园口、中牟、曹崗諸大断面仅有1954~1956年实測比較資料，花园口、石头庄系自1953年資料开始比較，至于东坝头实測大断面因仅有1年資料可利用，无法比較。从这些实測大断面成果，結合輸沙資料分析，証明这一段河道在夹河灘斷面以上經過1954年汛期发生冲刷，1954年至段年冲刷量占陝县年輸沙量的6.9%，冲刷主要发生在8~10月間；由大断面比較，一般冲深达数公寸，曹崗由1954年10月31日与1954年6月14日兩次实測大断面比較来看，平均冲深达0.92公尺，同水位（計算水位9.00公尺）下面積差7,270平方公尺。自1955年汛后至1956年該段斷面又淤高，夾河灘斷面以下經過1951年汛期发生淤积，由石头庄1954~1956年汛前断面比較，淤积厚度达1.03公尺，高村淤积厚度同样很大，自1951~1955年河床逐年淤高，其中1951~1954年的淤积速度每年达0.1~0.4公尺，經過1951年汛期至1955年汛前淤积厚度达0.5公尺以上，历年平均淤积速度为0.2公尺左右。由于1956年汛前水河灘及高村間是个微冲过程，高村断面也有微冲現象。高村至艾山間河段諸大断面同样是自1953或1954年开始比較，冲淤过程比較明显的，如1955~1956年史楼以下的普遍冲刷，尤以梁山断面冲刷为最甚。但是这一段河道由于兩岸灘地較低，一般洪水即可漫灘，河床基本上是淤积的，同时由于东平湖的調節，洪峰时期黄河洪水向湖区倒灌，在湖区（特別是湖口）山溝間亦产生淤积現象。当黄河洪峰退落时，特別遇到汝河來水，則由于清水（含沙量較小）下泄，对东平湖以下河道的变形是有一定影响的。艾山洛口河段各大断面中，朱閣、官庄、水牛赵等几年来是冲淤相間，有冲有淤，曹家圈大断面自1953~1956年均表現为冲刷。从河段輸沙量来看，應該認為是淤积的，1951~1956年間淤积体积达3.5亿公方。洛口至利津間河段的冲刷也可以从各大断面上看出来，一般自1952年至1953年汛前，各大断面是有冲有淤，而自1953~1956年，大多数均有年年冲刷的現象，冲刷速度而且是很快的。从汛前大断面套繪圖上比較，說明河段非但在縱向上刷深，主槽（平槽流量以下河槽）也在橫向上刷寬，如霍家溜、李家、楊房、蘭家、道旭、官家等大断面，表現至為明显。根据同水位下面積比較，霍家溜在1955年7月6日与1955年11月12日兩次实測斷面期間，扩大面積317平方公尺（計算水位30公尺），楊房1955年11月3日較1955年6月2日斷面沖大465平方公尺（計算水位22公尺）。自1953~1956年，河段大断面面積一般冲刷扩大500~1,000平方公尺。

茲再根据各站历年（1951~1956年）資料，对流量为3,000与5,000秒公方下的最大最小水位变幅列如表12：

表12

历年水位 变幅(公尺) 流 量(秒公方)		站 名	秦 厂	夹 河 灘	高 村	孙 口	艾 山	洛 口	利 津	前 左
5,000	最大	0.79	0.61	0.75	0.49	1.08	0.69	0.84	1.40	
	最小	0.39	0.29	0.29	0.38	0.42	0.38	0.22	0.24	
3,000	最大	0.89	0.55	0.69	0.77	0.87	0.53	0.75	1.05	
	最小	0.39	0.23	0.48	0.32	0.31	0.36	0.21	0.25	

由表12可知黄河下游的冲淤变化是很大的，同流量的水位变幅一般在0.3~0.8公尺，最大幅度达1.4公尺。表12中各站水位最大变幅，除孙口、艾山出現于其他年份外，其余各站均出現于1951年。

关于下游河道河灘部分的冲淤变化，由于灘面一般較寬，糙率較大（多利植庄稼），当洪水漫灘以后，水流挟运力減小，引起灘面的淤积。根据各站与各大断面历年汛前实測圖比較，并結合調查資料对比，則

知下游河道灘面在1951~1953年汛期由于洪水不大，变化较小，1954年汛期秦厂洪峰連續出現，含沙量亦大，9月5日洪峰秦厂最大含沙量达286公斤/公方，造成下游灘面严重淤积。在高村以上河道因沿河灘面高程变化較大，其淤积深度隨漫灘水深大小及水流缓急而不同，一般約在0.1~0.8公尺，个别難面因溜緊也有冲刷現象。高村以下河道基本上全部漫灘，高村艾山間灘面淤积深度一般为0.4~0.6公尺，艾山以下淤积较少，約0.2~0.3公尺，1955年与1956年略有冲淤。灘地淤积的过程一般是灘唇淤积較多，其范围約在200~500公尺之間，向堤脚淤积逐渐減少，因而形成灘面向堤脚傾斜的横比降。

3. 各站断面的冲淤变化規律

由于黄河下游水情与河型的特点，表現在各站断面在一年內随季节的不同，变化非常显著。根据洛口站1954年水位、流量、含沙量、水面寬与河槽河底平均高程过程綫，可以看出河槽年中的冲淤变化情况。一般为汛前河底較高，汛期河底較低，最低的月份相当于水量最多的月份，落水后河底逐漸淤高，凌汛期间河底高程也較低，桃汛稍冲，桃汛后直到汛前河床又逐漸淤积。其他各站也有同样变化。

为了表示各站年内断面的变化，特选取秦厂、高村、洛口、利津等站逐年汛前、汛期、汛后施测的大断面图主槽部分进行套繪分析。

由以上资料，說明断面年内变化是很大的。汛期断面較汛前因冲刷而增加的面积大小要根据該年水文特征与河床形态而定。一般河南秦厂、高村断面变化相差达500~1,000平方公尺，1954年由于汛期出現較大洪峰，面积变化均大于1,000平方公尺；山东洛口、利津断面变化一般在500~600平方公尺。汛期过后，河床逐漸回淤，断面也逐漸縮小，回淤程度有的較汛前断面为少，有的接近汛前断面，也有尚未恢复汛前断面的，要看各年水力条件而定。断面形态的变化各站均不相同。秦厂、高村由于河势平面摆幅很大，所以断面变化也很大，尤其高村断面自汛前断面最深点可向下摆深达7公尺。洛口断面由于河道在平面上所受到的限制，摆幅不大，所以断面主槽向縱橫同时发展。利津断面则由于河势的变化，也引起了該断面主槽位置的左右移动。

表13

站 名	实测日期			计 算			备 考
	月	日	水位 (公尺)	宽 度 (公尺)	面 积 (平方公尺)	水位 (公尺)	
秦 厂	9	30	96.68	1370	4830	95.59	3310
	2	2	95.59	503	390	95.59	390
高 村	8	21	61.03	943	4610	58.91	2940
	1	28	58.91	215	349	58.91	349
孙 口	8	19	47.55	1360	5750	44.06	2220
	2	24	44.06	340	44	44.06	484
艾 山	8	13	41.30	413	3300	36.78	1500
	6	26	36.78	332	423	36.78	423
洛 口	9	10	20.40	232	2400	25.88	1470
	6	28	25.88	225	528	25.88	528
利 津	9	10	12.17	556	2040	10.09	1500
	6	28	10.03	271	487	10.09	487
前 左	9	7	8.96	546	2190	7.16	1020
	5	14	7.16	417	517	7.16	517

为了了解下游各站在年内断面的最大冲淤变化程度，曾以1954年各站在年内最大冲刷断面与最大淤积断面进行对比，见图7，这也显示出了黄河下游各站河床冲淤的特性。这项最大冲淤断面在低水位以下的变化数值则如表13。

从各站水位流量关系曲线在年中的位置移动情况分析，秦厂在1~5月和11~12月间是偏左，8月最偏右，6、7、9、10月居中。高村1~3月和5~7月最偏左，8、9月最偏右，4、10、11月和12月居中。洛口1~3月和11、12月最偏左，7~9月最偏右，4~6月和10月居中。这也反映了各站断面年中冲淤的变化过程。

为了进一步探讨各站历年汛期一次洪峰期间断面的变化情况，曾对秦厂、高村、洛口等站历年汛期选一次洪峰的实测资料，作出日平均流量，与同水位面积过程线（见图8），以资对比分析其断面变化过程与规律。并将洪峰始末实测断面与洪峰期间最大冲刷断面进行套绘，以显示断面形态的变化（见图9）。

由图9看出黄河下游各站洪峰期间断面的变化过程一般是符合“涨冲落淤”的现象的，也就是自洪峰开始至峰顶，河床断面是一个冲刷过程，由洪峰至峰末则是一个淤积过程。最大冲刷断面往往出现在最大流量之后，即在初落水的阶段仍为冲刷。由洪峰开始一直到最大冲刷断面，其面积变化在秦厂一般达350~1,000平方公尺，高村在一般水情变化不大的年份中，河槽冲刷深度较大，断面扩大也在700平方公尺左右，洛口则在500平方公尺左右。峰后的回淤情况，根据洪峰期间最大冲刷断面与峰末断面的比较来看，在秦厂较大，高村次之，洛口较小。因此表现在整个洪峰过程中断面的冲淤结果来看，秦厂峰末断面较峰初断面有的出现淤积，有的出现冲刷，而高村洛口两站断面则均表现峰末较峰初断面为大。1954年9月洪水由于含沙量大，在该次洪峰中三站断面回淤速度均较历年为大，峰末断面均比峰初断面为小，由此可知断面的冲淤变化是与水流之间有相互作用的。以高村1954年8月31日至9月20日洪峰过程中副断面的变化为例，9月3日洪峰开始时主流偏右，断面最深点在起点距320公尺处，高程55.5公尺，5日水位上涨，至6日上午大河顶冲上游左岸青庄，主流左移，因而断面右半部淤高，左半部刷大，在起点距700公尺处断面最深点高程降至54.3公尺，自6日以后，河势又右移至11日河槽，断面变化很大，左半部完全淤起，右半部又冲深刷大，在起点距仅150公尺处，断面最深点达54.4公尺，至20日在起点距300公尺处，河槽最深点高程已淤至55.6公尺，断面形态左右对称。秦厂断面也有同样的变化情况。黄河下游河床、沙洲的运行，特别是在河南的宽浅河槽，在汛期洪峰期间的变化是很大的，而且非常迅速，往往经过一个洪峰，断面的形态可以完全变样。

至于经过一个枯水期间各断面变化的情况，仍以秦厂、高村、洛口三站进行分析，作出一年中11、12月至翌年汛前6月间月平均流量与各月接近月平均实测断面的同水位面积过程线，如图10，并繪出历年枯水期间断面变化比較图，见图11。一般套绘三个断面图，即一年中11月、翌年6月与枯水期间最大淤积断面，也就是按同水位下最小断面进行套绘，以显示枯水期间断面变化的情况。

图中首先反映出秦厂、高村、洛口诸站经过一个枯水期间，断面的变化是一个淤积过程，变化也比较小。（因秦厂1954~1956年、高村1953~1956年枯水期间系于副断面施测，故在图中未绘出这几年的结果，但由近几年来的附断面实测结果比较，更可说明这种情况）。在整个淤积过程中，由于受凌汛、桃汛的影响，河床也表现出突出不稳定的时间，一般秦厂高村由1月至翌年3月间河床淤积为最高，经过桃汛微冲时期，河床至大汛初次洪峰又发生淤积。在同一期间，洛口站断面变化过程较为稳定，受桃汛影响也较小，淤积现象十分明显，最大淤积断面多出现在3月份以后。根据1954年黄河下游各站最大冲淤断面比较，艾山以下诸站最大淤积断面多出现在5、6月份。在淤积的程度上要依据各年的水流特征而定。秦厂1951年11月17日与1952年6月9日、1952年11月14日与1953年6月20日、1953年11月14日与1954年6月11日断面的比较，其总面积变化不大，而1954~1955、1955~1956年枯水期间断面（秦厂P.C付断面）淤积十分严重。由1955年11月24日与1956年6月6日实测断面比较，同水位（96.02公尺）面积缩小606平方公尺，同样地，高村、洛口站11月与翌年6月间断面比较也能缩小达500平方公尺左右，一般缩小范围为100~100平方公尺。至于断面形态的变化可参阅图11，由此可知秦厂、高村变化较大，洛口变化较小，其变化同样与潮流作用相互影响甚大。

综合以上各方面的分析研究结果，可知：

(1)自1951~1956年間黃河下游河道基本上是逐年淤積的。总的說來，在冲淤的定性方面一般是可靠的，而在定量方面則只能得出一個概念。根據以上的分析計算和我們實際觀察的結果，認為孟津至秦廠間年淤積速度約0.2公尺，秦廠至艾山間年淤積速度約在0.1公尺左右，艾山至洛口間年淤積速度為0.15公尺，洛口至利津間則發生冲刷，年冲刷速度約為0.2公尺，利津以下年淤積速度約為0.1公尺左右。

(2)現有固定大斷面多設在彎曲河道內，在斷面上沖淤變化的一般規律是“漲沖落淤”，最大冲刷斷面多在洪峰的初落阶段，洪峰过后断面又逐渐回淤。由於固定大断面在直河段設置的很少，因此直河段的冲淤的过程尚待进一步的観測研究。

(3)每年汛期过后，自11月至翌年汛前6月，各固定大断面的变化是一个淤积过程，最大淤积断面多在翌年3月以后，河床也比較穩定，惟在桃汛及凌汛期中河床略有变形。

研究下游河道的縱向变化，必須掌握泥沙的運動規律，以及與河床形態的相關關係。我們目前才在這方面開始進行研究，同時沿河大斷面較少，在斷面位置上、施測項目上、和施測時間及精度上亦都存在不少問題。因此，根據這幾年的資料所得到的結果，只能表示下游河道冲淤变化的一般概念，尚缺乏理論上的分析，今后還需在這一工作的基礎上，改進觀測辦法，繼續研究提高。

渭惠渠灌溉渠首取水防沙試驗研究

水利电力部西北水利科学研究所泥沙研究室

一、前 言

在我国大规模的社会主义水利工程建設中，泥沙研究工作是一项重要而复杂的任务。其中灌溉渠系泥沙处理是目前泥沙研究重点問題之一，而渠首泥沙的处理又为渠系泥沙研究工作中的一项关键問題。其目的在于研究渠首的合理布置，并采取适当措施，以防止或减少泥沙进入渠道。

陝西省的許多灌溉渠道由于泥沙过多而經常妨碍正常引水，渭惠渠于郿县魏家堡渭河上筑坝設閘引水渠首河段系平原河道，含沙量大，引水时粗沙，石砾大骨入渠，严重地影响了灌溉的正常引水。同时渠首工程的设计亦有缺点，来水方面亦不适当，为渠首管理带来了困难。为了解决这个問題，工程机关計劃一方面治河，改善河道形勢，同时将渠首局部改建扩大。根据試驗觀測，渠首改善的原設計仍未能解决泥沙入渠的問題，当河道流量为70秒公方，引水30秒公方时，进入渠道的泥沙仍在百分之八十以上。

原渠首工程布置系为印度式，本試驗即是在原有工程改善設計布置的基础上，利用潛沒分水牆使沙礫接近进水閘的机会减小，并使冲刷槽內水流分为兩层，上层清水进入渠道，下层含沙水流由冲刷閘排至下游，效果良好。試驗中，进一步地利用螺旋流使接近进水閘之底沙，更远离閘檻前緣，因而大大地减少了泥沙进入渠道的数量。

因此，我們認為，虽然印度式布置的取水建筑有很多缺点，但在采取适当措施（例如本文所述之措施），改变了水流内部的結構之后，仍可滿意的工作。

同时，我国已建渠道工程中多为印度式布置，因在原有基础上予以改善，是可以滿足防沙要求的。因此我們認為进行旧有工程改善研究工作是完全必要的。

二、目的和要求

試驗要求是在1956年“渭惠渠渠首改善工程試驗”結果的基础上（如图1）作进一步試驗研究，改变水流内部結構，以得到更有效的防止底沙入渠的措施，以便工程改善的参考。这一試驗目的，在于河道治理及渠首局部工程改善后，主流接近进水閘前（如河道流量在120秒公方以下时，可全部由冲刷閘泄去）当进水閘引水流量为30秒公方时渠首能防止或少进入渠道的底沙，以保証經常引水，并使渠道輸水正常化，达到扩大灌溉面积，增加农业生产的目的。

三、模型設計

根据拉氏重力定律，采用定床正态模型，冲刷閘上取直段引河槽200公尺左右，見照片1，但模型沙接天然沙粒小，粒徑太細，又因流速小，运动不灵活，以比重1.375块炭代之，粒徑以1至2公厘为主，故舍去几何性相似而求运动之相似，按拖引力相似理論进行計算，采用的模型比尺如下：

長度比例： $L_r=40$

深度比例： $h_r=L_r$

速度比例： $V_r=\sqrt{h_r}=6.33$

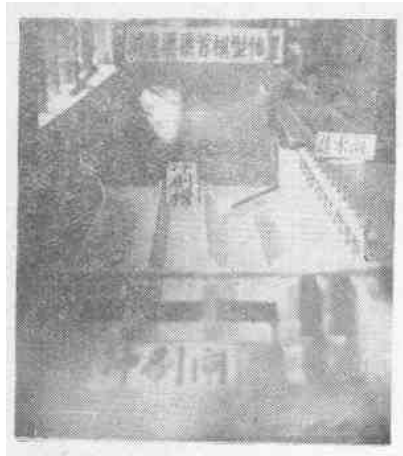
流量比例： $Q_r=(L_r)^2=10,120$

底沙比例： $d_r=\frac{d_p}{d_m}=\frac{\gamma_{sm}-1}{\gamma_{sp}-1} \quad L_r=\frac{0.375}{1.65-40}=9.1$

四、試驗經過及成果

試驗的進行可分為進水閘九孔及十二孔兩個方案其模型布置見照片1，試驗時的河道流量以70及120秒公方為主，渠道引水量為30秒公方。

1. 九孔進水閘方案試驗情況：



照片1 十二孔進水閘試驗成果模型布置

(1) 原定方案如圖1所示。槽內加了三道分水牆(長30公尺高1公尺)延長舊冲刷槽(第一條)為28公尺，舊槽槽坡為零，并于上端加斜角45度，坡度為1:2的導沙坎。流狀及底沙運動情況之比較如圖2所示。

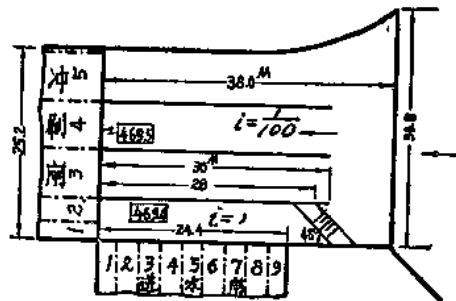


圖1

附注：原渠首工程仅有冲刷閘1、2兩孔，進水閘1至6六孔扩建后增加進水閘三孔，共五孔；并扩大進水閘(見圖1)。

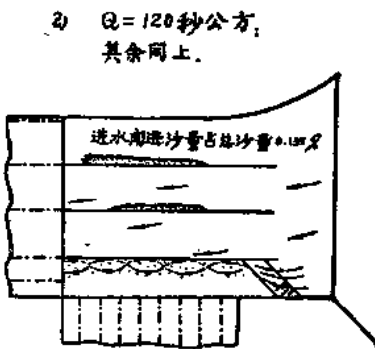
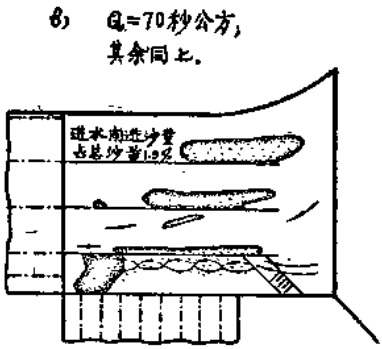
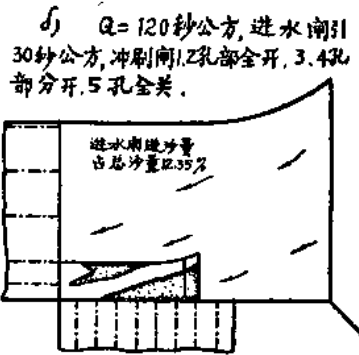
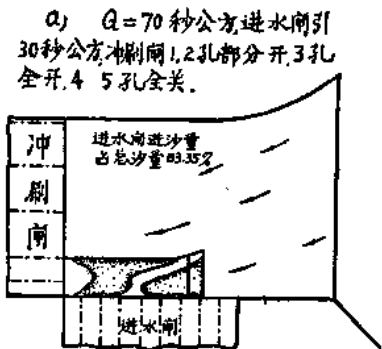


圖2